

ALTERAÇÕES TOMOGRÁFICAS E ULTRASSONOGRÁFICAS DE ADENOCARCINOMA PANCREÁTICO FELINO – RELATO DE CASO

Computed tomography and ultrasound abnormalities of pancreatic adenocarcinoma in a domestic cat - Case Report

Carmel Rezende Dadalto¹; INAMASSU, L.R. ; DOICHE, D.P. ; BONATELLI, S.P.; EISING, T. C.; BELOTTA, A.F.; MAMPRIM, M.J.

1- Mestranda do Serviço de Diagnóstico por Imagem (FMVZ) - UNESP, Campus Botucatu. Programa de pós-graduação em Biotecnologia Animal. Bolsista de mestrado CNPq. Endereço eletrônico para contato: carmel_dadalto@outlook.com

INTRODUÇÃO

Tumores pancreáticos exócrinos são raros em cães e gatos, em felinos sua incidência é menor que 0,5%¹. A alta malignidade do adenocarcinoma pancreático resulta no frequente desenvolvimento de metástases². Ao exame ultrassonográfico, o adenocarcinoma pancreático apresenta-se mais comumente como massa ou nódulo focal, porém múltiplos nódulos hipoecogênicos também foram descritos¹. O diagnóstico definitivo é feito por meio de laparotomia exploratória e biópsia da lesão². A tomografia computadorizada é a modalidade de escolha para avaliação pancreática detalhada³. O objetivo do presente trabalho é relatar os aspectos ultrassonográficos e tomográficos de um caso de adenocarcinoma pancreático em felino.

Palavras-chave: neoplasia, pâncreas, imagem.

RELATO DE CASO

Um animal da espécie felina, macho, sem raça definida, com 5 anos de idade e queixa principal de episódios eméticos de conteúdo amarelado. Ao exame físico o animal apresentou estrutura em região epigástrica esquerda com discreto desconforto à palpação. Ao exame radiográfico simples foi possível visualizar estrutura circunscrita com radiopacidade de tecidos moles adjacente à silhueta esplênica e rim esquerdo (Figura 1). No exame ultrassonográfico abdominal, notou-se imagem nodular, heterogênea de origem pancreática (Figura 2). Realizado laparotomia exploratória que identificou uma massa de aproximadamente 4 cm de diâmetro localizada próximo ao hilo esplênico, envolvendo mesentério e aderida ao polo cranial do lobo esquerdo do pâncreas. Realizada esplenectomia total e pancreatectomia parcial do polo cranial. O diagnóstico histológico foi compatível com adenocarcinoma pancreático. Após cinco meses do diagnóstico realizou-se exame tomográfico abdominal que constatou a presença de estrutura circunscrita apresentando realce heterogêneo de captação de contraste, sendo mais evidente periférico, sugestivo de processo neoplásico em topografia de lobo pancreático esquerdo (Figura 3). Fígado apresentando três estruturas circunscritas hipoatenuantes com realce heterogêneo após administração do meio de contraste (Figura 4). Sete meses após o diagnóstico da neoplasia o animal veio a óbito. Na necropsia foi observada neoplasia abdominal maligna em região de cabeça de pâncreas e metástase hepática e mesentérica.

DISCUSSÃO E CONCLUSÃO

Adenocarcinoma é o tipo tumoral pancreático mais comum e está associado com prognóstico desfavorável². Apresenta sinais clínicos e laboratoriais inespecíficos tornando seu diagnóstico desafiador². No exame ultrassonográfico a apresentação mais comum são nódulos focais maiores que 2 cm, deve-se incluir como diagnóstico diferencial a hiperplasia nodular pancreática, um achado comum em felinos idosos, costumam ser menores e hipoecogênicos, de até 1 cm¹. Ao exame tomográfico observa-se massa pancreática hipodensa, com realce periférico de contraste e densidade de tecidos moles envolvendo vasos peripancreáticos³. Devido à baixa ocorrência, relatos de casos como este trazem mais informações e contribuem para um diagnóstico imagiológico cada vez mais específico, melhorando a acurácia diagnóstica.

1) HECHT, S.; PENNING, G.; KEATING, J.H. Imaging findings in pancreatic neoplasia and nodular hyperplasia in 19 cats. *Veterinary Radiology & Ultrasound*, v.48, n.1, p.45-50, 2007.

2) WITHROW, S.J. Cancer of gastrointestinal tract. In: WITHROW, S.J.; VAIL, D.M. *Small Animal Clinical Oncology*. St. Louis : Saunders Elsevier, 2007. p. 479-480.

3) CÁCERES, A.V. Pancreas. In: SCHWARZ, T.; SAUDERS, J. *Veterinary Computed Tomography*. Chichester (United Kingdom): John Wiley & Sons Ltd, 2011. p. 315-324.



Figura 1: Estrutura circunscrita com radiopacidade de tecidos moles adjacente à silhueta esplênica e rim esquerdo.

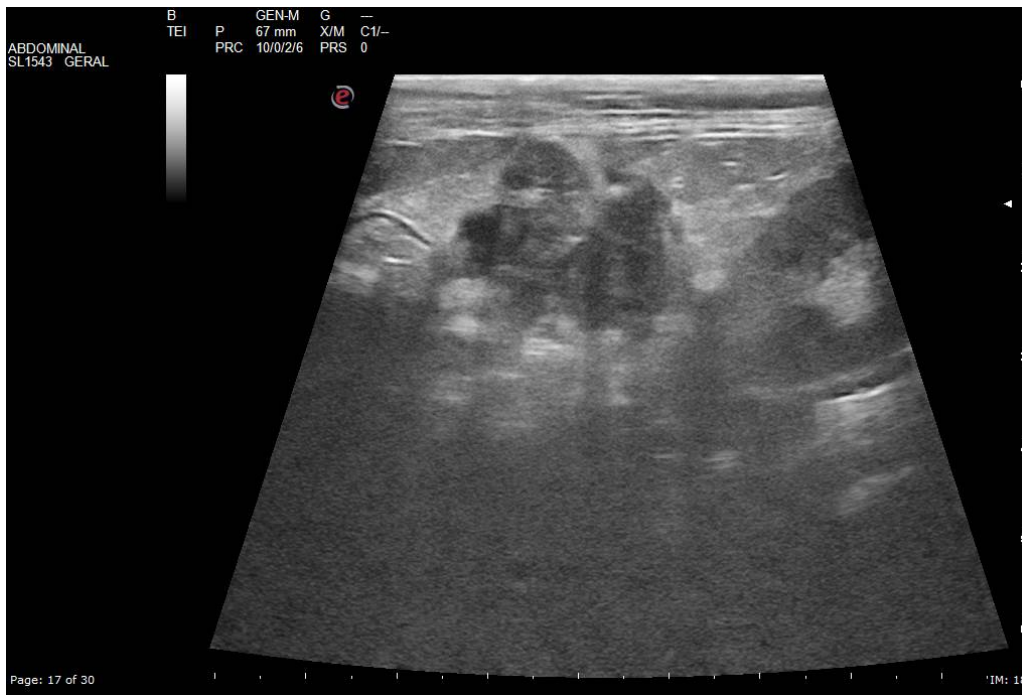


Figura 2: Imagem nodular, heterogênea de origem em lobo pancreático esquerdo.

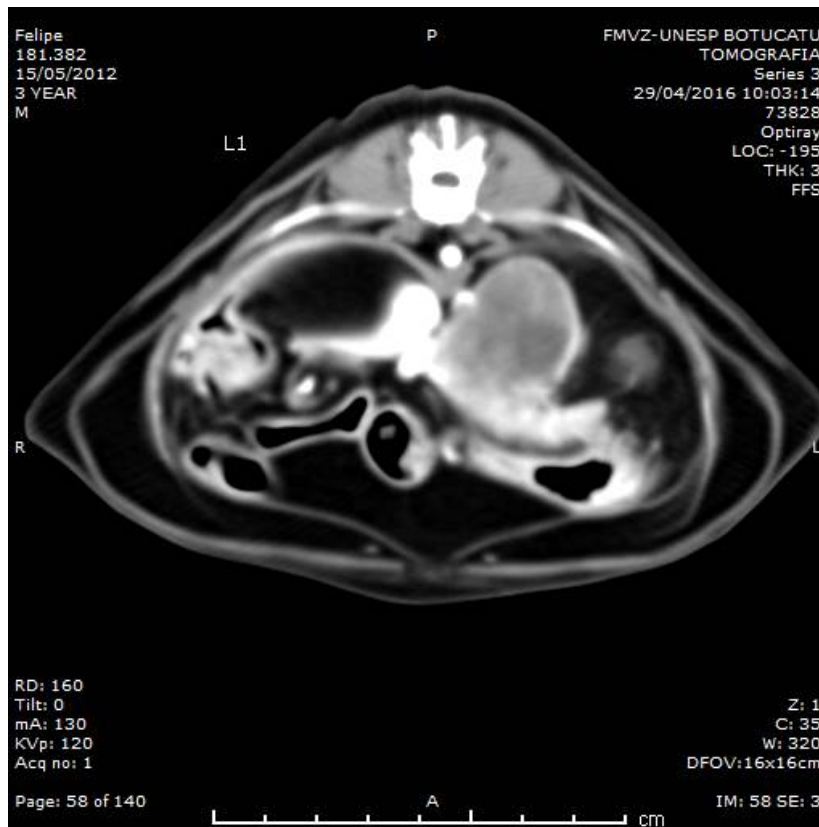


Figura 3: Estrutura circunscrita apresentando realce heterogêneo de captação de contraste, sendo mais evidente periférico, sugestivo de processo neoplásico em topografia de lobo pancreático esquerdo.

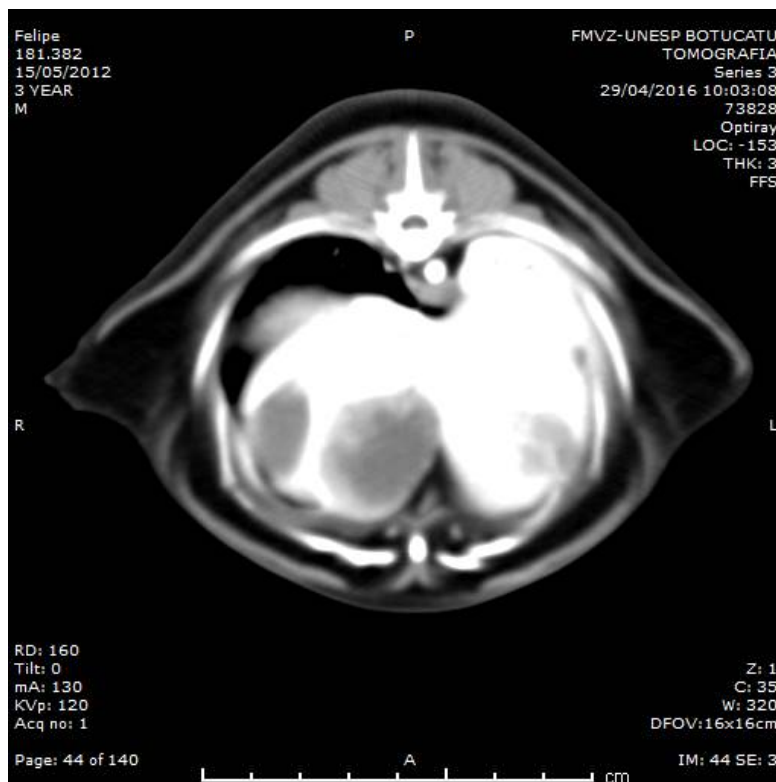


Figura 4: Fígado apresentando três estruturas circunscritas hipoatenuantes com realce heterogêneo após administração do meio de contraste.